

Наблюдаемое различие оцененного и экспериментально определенных значений удельного сопротивления, а также уменьшение удельного сопротивления с увеличением плотности образцов может быть объяснено малым числом контактов между наночастицами и существованием на их поверхности изолирующего слоя лигандов.

Значение ЭДС Холла, измеренное на образцах, приготовленных без прессования, является эффективным значением и сложным образом учитывает геометрическую структуру путей протекания тока через образец, количество и взаимное расположение контактных областей, приходящихся на одну частицу.

Таким образом, мы впервые получили стабильные наночастицы никеля, характеристики элек-

тронного переноса в которых не зависят от температуры, что позволяет далее рассматривать использование их в современной электронике в качестве проводников с новыми свойствами.

### Литература

1. Абрикосов, А. А. Основы теории металлов / А. А. Абрикосов. – М.: Наука, 1987. – С. 519.
2. Губин, С. П. Химия кластеров – достижения и перспективы / С. П. Губин // Журнал Всес. хим. об-ва Менделеева. – 1987. – Т. 32, № 1. – С. 3–11.
3. Кучис, Е. В. Гальваномагнитные эффекты и методы их исследования / Е. В. Кучис. – М: Радио и связь. – 1990. – С. 264. Реферат к статье.

УДК 538.911:544.225.2

*A. B. Кособуцкий, A. C. Поплавной, A. B. Силинин*

## КЛАССИФИКАЦИЯ СПЕКТРОВ ЭЛЕМЕНТАРНЫХ ВОЗБУЖДЕНИЙ СЛОЖНЫХ КРИСТАЛЛОВ НА ОСНОВЕ СОСТОЯНИЙ ИХ ПОДРЕШЕТОК

Исследован генезис спектров элементарных возбуждений кристаллов, составленных из подрешеток кубической сингонии. Методами теории групп зоны Бриллюэна (ЗБ) подрешеток перестроены в ЗБ кристаллов, установлены вырождения, обусловленные свертыванием ветвей спектра. Гамильтониан кристалла представляется в виде суммы гамильтонианов подрешеток и оператора возмущений, предлагаются простейшие модели для учета гибридизации. Для представления зонных спектров подрешеток в единой энергетической шкале обсуждаются проблемы истинного положения зонных спектров кристаллов. Предлагаемые подходы продемонстрированы на примере кристалла  $MgO$ .

Сложные кристаллические структуры можно рассматривать как совокупность вложенных друг в друга трансляционно совместимых подрешеток Браве, относящихся к одинаковым или различающимся сингониям. Составляющие кристаллы подрешетки определяют его физические и физико-химические свойства. В [1, 2] предложен метод подрешеток для исследования химической связи в преимущественно ионных кристаллах. Его применение позволило установить принципиально новые особенности химической связи, обусловленные трансляционной и точечной симметрией подрешеток. Исследование генезиса энергетических зон из подрешеточных состояний представлено в [3] для оксидов и сульфидов щелочноземельных металлов, образованных одинаковыми по симметрии гранецентрированными кубическими (ГЦК) подрешетками анионов и катионов и в [4] для сульфидов щелочных металлов с решеткой антифлюорита, образованных разными по симметрии подрешетками (анионы образуют ГЦК-подрешетку, в которую

помещена простая кубическая (ПК) подрешетка катионов). Последний случай интересен тем, что ЗБ кристалла и подрешеток, относящихся к различным типам решеток Браве, также различны, что приводит к необходимости перестраивать ЗБ подрешеток в ЗБ кристалла. В качестве примеров более сложных структур можно привести кристаллы  $Pt_3O_4$ , составленные из трех объемноцентрированных (ОЦК) и одной ПК подрешеток платины и кислорода соответственно,  $CrFe_4Ni_3$  (гипотетический), составленные из ОЦК подрешетки хрома, трех ОЦК подрешеток никеля, одной ПК подрешетки железа,  $As_3Co$ , составленные из ПК подрешетки кобальта и двенадцати ОЦК подрешеток мышьяка.

Геометрические и кристаллографические аспекты построения сложных кристаллов из подрешеток Браве рассмотрены в работе [5]. Метод исследования генезиса спектров элементарных возбуждений в кристаллах, основанный на анализе симметрии подрешеток, изложен в [6]. Поскольку примитивная ячейка кристалла вмещает в себя примитивные ячейки всех подрешеток, объем ее ЗБ меньше либо равен объему ЗБ любой подрешетки, при этом наибольшей оказывается ЗБ подрешетки с наименьшим объемом элементарной ячейки. Из-за трансляционной совместимости всех подрешеток с кристаллической решеткой, их ЗБ могут быть перестроены в ЗБ кристалла. Перестройка векторов ЗБ подрешеток  $\vec{k}_S$  в векторы ЗБ кристалла  $\vec{k}_L$  производится согласно соотношению:

$$\vec{k}_L = \vec{k}_S + \sum_{i=1}^3 n_i(L|S) \vec{A}_i(\Gamma_L), \quad (1)$$

где  $n_i(L|S)$  – целые числа,  $\vec{A}_i(\Gamma_L)$  – векторы обратной решетки. При перестройке ЗБ подрешеток в ЗБ кристалла необходимо принять во

внимание точечную симметрию, которая может оказаться выше для подрешетки по отношению к кристаллу. В таком случае необходимо провести разложение неприводимых представлений групп симметрии подрешетки по неприводимым представлениям группы симметрии кристалла. Это разложение начинается с установления соответствия между неприводимыми звездами представлений подрешеток и кристаллической решетки с использованием соотношения (1), а далее ведется разложение неприводимых представлений групп волновых векторов. В итоге устанавливается генезис зонного спектра кристалла из подрешеточных состояний.

Размещение энергетических зон подрешеток в ЗБ кристалла приводит к появлению вырождений, обусловленных двумя факторами:

а) трансляционные вырождения, возникающие при свертывании спектров подрешеток;

б) вырождения, обусловленные более высокой точечной симметрией подрешеток, если таковая имеется.

Эти вырождения снимаются при учете гибридизации подрешеточных состояний. В случае слабой гибридизации подрешеточных состояний хородшим нулевым приближением к зонному спектру кристалла будет спектр «свернутых» подрешеточных состояний, расщепления в котором могут быть вычислены по теории возмущений.

Изложенный подход проиллюстрирован на примере кристаллов, относящихся к кубической системе Браве. На рис. 1 представлены ЗБ, отвечающие всем различным сочетаниям ПК, ГЦК и ОЦК решеток и подрешеток. Для всех этих случаев нами проведены разложения неприводимых звезд представлений подрешеток по неприводимым звездам соответствующих кристаллов, установлены вырождения трансляционного типа.

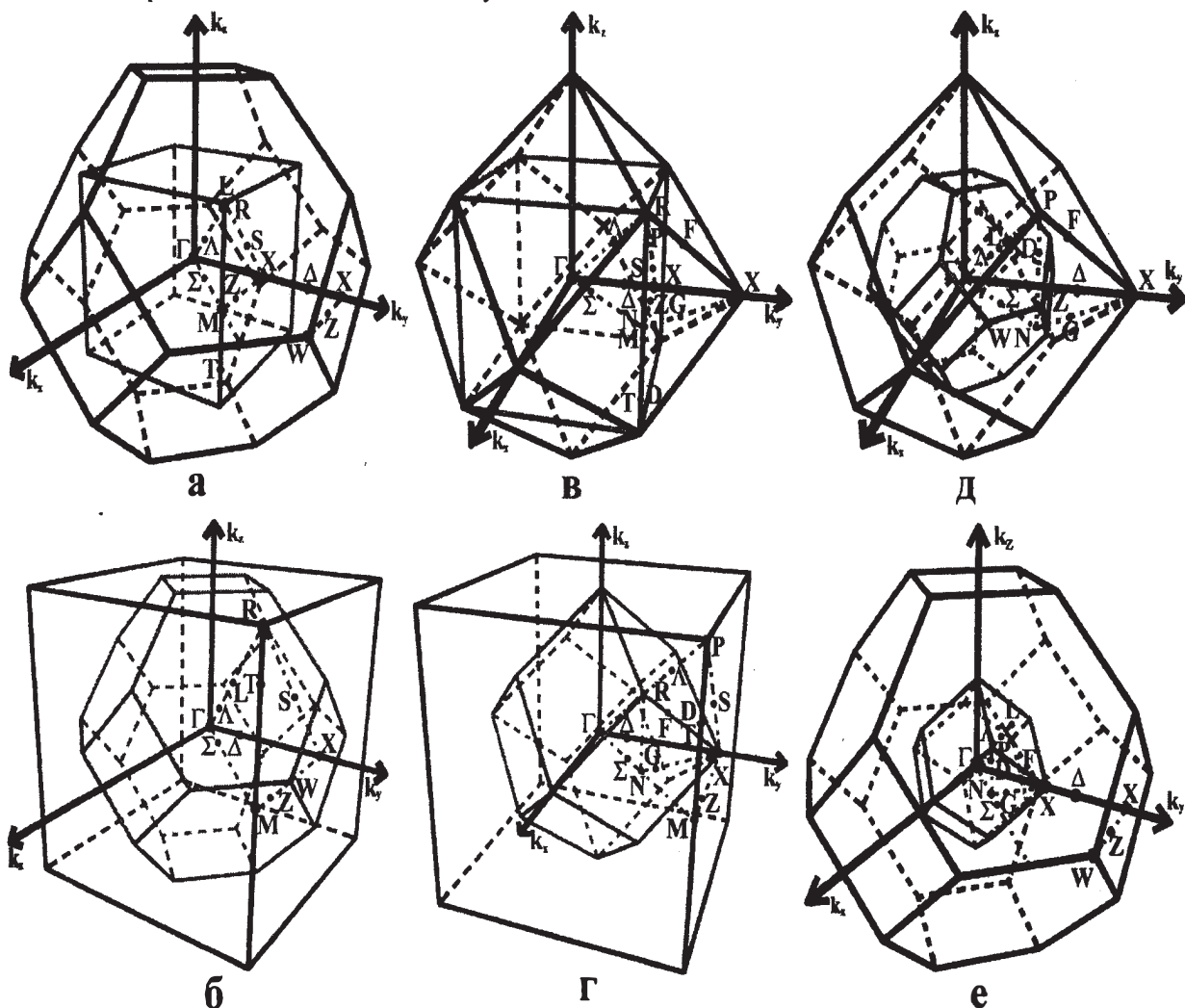


Рис. 1. ЗБ кристаллов и подрешеток кубической сингонии для различных сочетаний типов решетки Браве: а) ПК решетка и ГЦК подрешетка; б) ГЦК решетка и ПК подрешетка; в) ПК решетка и ОЦК подрешетка; г) ОЦК решетка и ПК подрешетка; д) ГЦК решетка и ОЦК подрешетка; е) ОЦК решетка и ГЦК подрешетка

Как показано в [1, 2], формирование некоторых особенностей электронной плотности обусловлено дальнодействующим взаимодействием одинаковых атомов подрешеток. В качестве величины, характеризующей связь подрешеток, использована разностная плотность, полученная как результат вычитания из кристаллической электронной плотности плотностей всех подрешеток. На основании анализа разностной плотности в [1, 2] делается вывод о слабой подрешеточной гибридизации в преимущественно ионных кристаллах. Если в катионную подрешетку входят щелочные или щелочноземельные металлы, то валентная электронная плотность формируется в основном состояниями аниона, и для этого случая справедливо соотношение:

$$|\rho_{cr}| \approx |\rho_A| \gg |\rho_{Me}| > |\Delta\rho|, \quad (2)$$

где  $\rho_{cr}$ ,  $\rho_A$ ,  $\rho_{Me}$ ,  $\Delta\rho$  – соответственно валентные электронные плотности кристалла, аниона, металла, разностная плотность. Поэтому следует ожидать, что зонные энергетические состояния кристалла близки к энергетическим состояниям подрешеток, а гибридационные эффекты между подрешетками могут быть учтены по теории возмущений.

Пусть кристалл состоит из  $k$  подрешеток Браве. Представим гамильтониан кристалла в форме:

$$H_{cr} = \hat{T} + \sum_{s=1}^k \hat{V}_s + \Delta W_{LS}, \quad (3)$$

где  $\hat{T}$  – оператор кинетической энергии электронной подсистемы,  $\hat{V}_s$  – оператор потенциальной энергии  $s$ -й подрешетки, включающий в себя кулоновскую, обменную и корреляционную составляющие,  $\Delta W_{LS}$  – возмущение, обусловленное гибридационными эффектами между подрешетками. Операторы  $\hat{V}_s$  могут быть определены путем проведения самосогласованных зонных расчетов для каждой подрешетки,  $\Delta W_{LS}$  – из разностной плотности  $\Delta\rho$ , при наличии расчетов электронной плотности для полного кристалла. В этом случае вычисления имеют смысл только для установления генезиса энергетических зон из подрешеточных состояний. Если же ставится задача о вычислении зонной структуры кристалла с использованием гамильтониана (2), то тогда необходимо развить метод расчета  $\Delta W_{LS}$  из каких-либо модельных представлений.

В случае малой величины гибридизации подрешеток, их зонные спектры дают хорошее нулевое приближение к зонному спектру кристалла [3, 4]. Для дальнейшего уточнения необходимо вычислить матричные элементы  $\langle \psi_s | \Delta W_{LS} | \psi_s \rangle$ , где  $\psi_s$  – волновая функция  $s$ -й подрешетки и диагонализо-

вать гамильтониан (2) в базисе функций подрешеточных состояний.

При решении задачи с гамильтонианом (2) с использованием псевдопотенциалов возникает вопрос о представлении зонных спектров подрешеток в единой энергетической шкале, что связано с вычислением диагональных слагаемых гамильтониана в базисе плоских волн. Проблема состоит в неопределенности значений форм-факторов локальной части псевдопотенциала  $V_{ps,loc}(\vec{G})$  и фурье-образа кулоновского потенциала  $V_H(\vec{G})$  кристалла или подрешетки при нулевых значениях векторов обратной решетки  $\vec{G}$ . В большинстве расчетов зонной структуры кристаллов в базисе плоских волн этими неопределенностями пренебрегают (авторам известна лишь одна работа [7], относящаяся к данному вопросу), что приводит к однородному сдвигу зонного спектра. Важнейшие параметры электронной структуры кристалла при этом не изменяются – сохраняется относительное значение энергий и структура волновых функций. Однако для некоторых задач, например при оценке разрыва энергетических зон на границах гетеропереходов, абсолютное положение зон имеет существенное значение. К числу таких задач относится и случай установления единой энергетической шкалы для подрешеток кристалла. Решить проблему вычисления истинных значений матричных элементов гамильтониана помогает то обстоятельство, что хотя по отдельности пределы  $\lim_{\vec{G} \rightarrow 0} V_{ps,loc}(\vec{G})$  и  $\lim_{\vec{G} \rightarrow 0} V_H(\vec{G})$  расходятся, совместное рассмотрение этих величин в виде предела

$$\Delta V = \lim_{\vec{G} \rightarrow 0} [V_{ps,loc}(\vec{G}) + V_H(\vec{G})] \quad (4)$$

приводит к конечному значению.

Выделяя в выражении для  $V_{ps,loc}(\vec{G})$  чисто кулоновскую расходимость и комбинируя ее с выражением для  $V_H(\vec{G})$ , получаем дальнейшую проблему для расчета  $\Delta V$ , состоящую в вычислении интеграла

$$\delta V_h = \frac{1}{\Omega_0} \int_{\Omega_0} \int_{\Omega} \frac{\rho(\vec{r}) - Z_v / \Omega_0}{|\vec{r} - \vec{r}'|} d\vec{r} d\vec{r}', \quad (5)$$

где  $\rho(\vec{r})$  – валентная электронная плотность,  $Z_v$  – валентный заряд элементарной ячейки кристалла; интегрирование ведется по объемам элементарной ячейки  $\Omega_0$  и всего кристалла  $\Omega$ . В атомной системе единиц  $\delta V_h$  численно совпадает с величиной среднего потенциала, обусловленного положительным зарядом, распределенным периодически с плотностью  $\rho(\vec{r})$  и отрицательно заряженным фоном с постоянной плотностью  $Z_v / \Omega_0$ . Обозначим  $\rho_c(\vec{r}) = \rho(\vec{r}) - Z_v / \Omega_0$ . Рассматриваемое зарядовое распределение является электронейтральным.

Стоит отметить нетривиальность задачи вычисления среднего потенциала, что является следствием проблемы вычисления потенциала бесконечного кристалла, определяемого выражением:

$$V(\vec{r}) = \int_{\Omega} \frac{\rho_c(\vec{r}') d\vec{r}'}{|\vec{r} - \vec{r}'|} = \sum_{\vec{a}} \int_{\Omega_0} \frac{\rho_c(\vec{r}') d\vec{r}'}{|\vec{r}' + \vec{a} - \vec{r}|}. \quad (6)$$

Суммирование в (6) производится по всем векторам решетки  $\vec{a}$ . Условиями абсолютной сходимости суммы в данном выражении являются электронейтральность кристалла, отсутствие дипольного момента и отличное от нуля значение квадрупольного момента  $\rho_c(\vec{r})$ . Данные условия являются необходимыми и достаточными и приводят к следующему выражению для среднего потенциала:

$$\bar{V} = \frac{1}{\Omega_0} \int_{\Omega_0} V(\vec{r}) d\vec{r} = -\frac{2\pi}{3\Omega_0} \int_{\Omega_0} r^2 \rho_c(\vec{r}) d\vec{r}. \quad (7)$$

Как отмечается в литературе (например [8, 9]), значение (7) зависит от способа выбора элементарной ячейки, которое может быть проведено неограниченным числом способов. Кроме того, неопределенным остается выбор начала координат в элементарной ячейке. Эти причины заставляют некоторых авторов считать величину среднего потенциала кристалла неопределенной [8], других – использовать (7) только для оценки  $\bar{V}$  [9]. В последнем случае авторы опираются на экспериментальные данные по определению  $\bar{V}$  с помощью методов электронной голографии. В последнее время развивается теоретический подход к вычислению кристаллического потенциала [10], согласно которому (7) характеризует влияние бесконечно удаленных границ кристалла, и эта величина должна вычисляться из (6), чтобы получить истинное объемное решение, не зависящее от границ. При этом всегда будет выполняться  $\bar{V} = 0$ , однако наличие экспериментальных данных не позволяет легко согласиться с этим подходом.

Непосредственно из уравнения Пуассона исходная величина  $\delta V_h$  выражается следующим образом:

$$\delta V_h = V_h(0) = \lim_{\vec{G} \rightarrow 0} \frac{4\pi\rho_c(\vec{G})}{G^2}. \quad (8)$$

Значение (8) неопределенно, так как в силу электронейтральности  $\rho_c(0) = 0$  избавиться от неопределенности в (8) можно, если в выражении для  $\rho_c(\vec{G})$  разложить в ряд экспоненту, тогда выполнение тех же условий, которые определяют сходимость (6), также приводит к формуле (7) [8]. Можно получить другой способ вычисления  $\delta V_h$  из фор-

мулы (8), если разложить  $\rho_c(G)$  в ряд по  $G^2$ :  $\rho_c(\vec{G}) = \rho_c(0) + \beta G^2 + \dots = \beta G^2 + \dots$  Подставив это разложение в (8), получим:

$$\delta V_h = 4\pi\beta, \quad \beta = \lim_{\vec{G} \rightarrow 0} \frac{d}{d(G^2)} \rho(\vec{G}) = \lim_{\vec{G} \rightarrow 0} \frac{1}{2G} \frac{d}{dG} \rho_c(\vec{G}). \quad (9)$$

Вычисление среднего потенциала по формуле (9) свободно от недостатков (7), и эту величину трудно связать с какими-либо граничными условиями, однако данный метод, насколько известно, не обсуждался в литературе. Причиной, очевидно, является невозможность вычисления  $\beta$  для реально го кристалла в силу дискретности значений функции  $\rho(\vec{G})$ . В данной работе эта трудность обходится с помощью аппроксимации кристаллической электронной плотности суммой центрированных атомных плотностей нейтральных атомов:

$$\rho(\vec{r}) = \sum_{\vec{a}, i, \alpha} \rho_i(\vec{r} - \vec{a} - \vec{r}_{i\alpha}), \quad (10)$$

где плотность  $i$ -го атома  $\rho_i(\vec{r})$  определяется посредством аналитического представления псевдофункций, получаемых из атомных расчетов. Аналитическое выражение для приближенной кристаллической плотности в свою очередь допускает аналитическое вычисление  $\delta V_h$  по формуле (9).

В соответствии с изложенной методикой, нами получены необходимые расчетные формулы, составлены пакеты программ и проведены вычисления зонного спектра MgO. В качестве нулевого приближения рассматривается зонный спектр электронейтральных подрешеток магния и кислорода. Вычисления зонной структуры, валентных электронных плотностей кристалла MgO, подрешеток магния и кислорода выполнены по методу функционала плотности с использованием псевдопотенциалов [11]. Возмущение  $\Delta W_{LS}$ , обусловленное гибридизацией подрешеток, вычислялось двумя способами – из разностной плотности  $\Delta\rho$ , путем решения уравнения Пуассона и на основе простейшей модели точечных кулоновских зарядов ионов магния и кислорода. Результаты расчетов представлены в таблице 1. В этой таблице НВЗ и ВВЗ – ширины соответственно нижней и верхней валентных подзон, ВВЗ(L-L) и ВВЗ(X-X) – соответствующие ширины в точках L и X зоны Бриллюэна,  $\Delta E(B3)$  – полная ширина валентной зоны,  $E_g$  – ширина запрещенной зоны.

Энергетические параметры валентной и запрещенной зон

Таблица 1

<i><b>Кристалл и возмущенные состояния подрешеток</b></i>	<i><b>Энергетические интервалы, Эв</b></i>					
	<i><b>НВ3</b></i>	<i><b>ВВ3</b></i>	<i><b>ВВ3(L-L)</b></i>	<i><b>ВВ3(X-X)</b></i>	<i><b>ΔE(B3)</b></i>	<i><b>E<sub>g</sub></b></i>
Кристалл MgO	1.53	4.63	3.75	2.78	17.86	4.26
Нейтральная подрешетка кислорода	0.82	2.35	2.12	1.33	17.01	9.10
Возмущение подрешеток разностной плотностью $Δρ$	0.97	3.06	2.75	1.74	17.31	5.81
Возмущение подрешеток кулоновским потенциалом ( $±1e$ )	0.84	2.43	1.64	1.59	17.26	8.46
Возмущение подрешеток кулоновским потенциалом ( $±2e$ )	0.97	3.47	1.21	2.59	17.63	6.49

Как видно из таблицы 1, параметры валентной зоны нейтральной подрешетки кислорода, за исключением  $ΔE(B3)$ , практически вдвое занижены по сравнению с соответствующими параметрами MgO. Учет гибридизации подрешеток на основе вычисленной разностной плотности существенно улучшает значение ширины запрещенной зоны, однако ширины разрешенных валентных подзон возмущенной подрешетки кислорода практически на 1 Эв занижены по сравнению с соответствующими ширинами зон в кристалле. Причина этого расхождения, возможно, обусловлена некорректностью учета обмена и корреляции в гибридизации подрешеточных состояний за счет применения уравнения Пуассона.

В качестве наиболее простой модели оператора  $ΔW_{LS}$  мы выбрали модель передачи заряда между двумя точечными центрами – ионами магния и кислорода. Результаты вычислений на основе этой модели представлены в двух последних строках таблицы. Видно, что в рамках этой простой модели при полной передаче электронов от магния к кислороду (заряды центров  $±2e$ , последняя строка таблицы) имеет место хорошее согласие между величинами BB3 и BB3(X-X) кристалла и возмущенной подрешетки кислорода. Наихудшее согласие наблюдается для величины BB3(L-L). Это погрешность, вероятнее всего, связана с неучетом поляризации ионов магния и кислорода.

#### Литература

- Журавлев, Ю. Н. Роль подрешеток в формировании химической связи преимущественно ионных кристаллов / Ю. Н. Журавлев, А. С. Поплавной // ЖСХ. – 2001.– Т. 42, № 5.– С. 861-867.
- Журавлев, Ю. Н. Распределение валентной электронной плотности в преимущественно ионных кристаллах с различающимися подрешетками Браве / Ю. Н. Журавлев, А. С. Поплавной // ФТТ. – 2003. – Т. 45, № 1. – С. 37-41.
- Басалаев, Ю. М. Генезис энергетических зон из подрешеточных состояний в оксидах и сульфидах щелочноземельных металлов / Ю. М. Басалаев, Ю. Н. Журавлев, А. В. Кособуцкий, А. С. Поплавной // ФТТ. – 2004. – Т. 46, № 5. – С. 826-829.
- Журавлев Ю. Н. Генезис энергетических зон из подрешеточных состояний в сульфидах щелочных металлов с решеткой антифлюорита / Ю. Н. Журавлев, А. В. Кособуцкий, А. С. Поплавной // Изв. вузов. Физика. – 2005. – № 2. – С. 30-34.
- Поплавной, А. С. Подрешетки в кристаллах / А. С. Поплавной, А. В. Силинин // Кристаллография. – 2005. – Т. 50, № 5. – С. 791-796.
- Поплавной, А. С. Симметрия подрешеток и физико-химические свойства кристаллов / А. С. Поплавной // Доклады Девятой Международной конференции «Физико-химические процессы в неорганических материалах». – Кемерово: Кузбассвузиздат, 2004. – Т. 1. – С. 447-451.
- Euwema, R. N. The absolute positions of calculated energy bands / R. N. Euwema, G. T. Surratt // J. Phys. Chem. Solids. – 1975. – V. 36, № 2. – P. 67-71.
- Kleinman, L. Comment on the average potential of a Wigner solid / L. Kleinman // Phys. Rev. B. – 1981. – V. 24, № 12. – P. 7412-7414.
- Kim, M. Y. Ab-initio LDA Calculations of the Mean Coulomb Potential  $V_0$  in Slabs of crystalline Si, Ge and MgO / M. Y. Kim, J. M. Zuo, J. C. H. Spence // Phys. stat. sol. (a). – 1998. – V. 166. – P. 445-451.
- Холопов, Е. В. Проблемы сходимости кулоновских и мультипольных сумм в кристаллах / Е. В. Холопов // УФН. – 2004. – Т. 174, № 10. – С. 1033-1060.
- Bachelet, G. B. Pseudopotentials that work: from H to Pu / G. B. Bachelet, D. R. Hamann, M. Schlüter // Phys. Rev. B. – 1982. – V. 26, № 8. – P. 4199-4228.